

ВЫСОКОМОЛЕКУЛЯРНЫЕ

Том (A) XVII

СОЕДИНЕНИЯ

1975

№ 10

УДК 541.64:543.422.27

СПЕКТРЫ ЭПР γ -ОБЛУЧЕННЫХ ФТОРВОДОРОДСОДЕРЖАЩИХ СОПОЛИМЕРОВ

A. B. Бобылева, С. М. Берлянт, Э. Р. Клинштейн

Идентифицированы спектры ЭПР γ -облученных поливинилиденфторида, сополимеров тетрафторэтилена с этиленом и тетрафторэтилена с винилиденфторидом. Изучена зависимость спектров ЭПР сополимеров от соотношения мономерных звеньев. Определены параметры спектров. Установлено, что разрыв полимерной цепи наблюдается только в том случае, если имеются блоки из фторстиленовых звеньев.

Ранее нами было показано, что во фторводородсодержащих полимерах в зависимости от процентного содержания водорода изменяется радиационно-химический выход [1] и был сделан вывод о преимущественном отрыве атома водорода. В связи с этим представляет интерес выяснить структуру свободных радикалов, образующихся при γ -облучении, в зависимости от состава сополимеров.

В качестве объектов исследования были выбраны сополимеры тетрафторэтилена (ТФЭ) с этиленом (СФ-1) с соотношением мономерных звеньев 1:1, 1:1,5 и 1:2, сополимеры ТФЭ с винилиденфторидом (СФ-2) с соотношением мономерных звеньев 1:1, 1:2 и 1:4 и поливинилиденфторид (ПВФ). Использовали образцы пленок толщиной 80–150 $\mu\text{м}$, изготовленные прессованием порошков полимеров. Пленки помещали в кварцевые ампулы и обезгаживали до остаточного давления в ампулах 10^{-4} – 10^{-5} тор. Облучение образцов проводили γ -лучами Co^{60} при 77 и 310° К. Спектры ЭПР регистрировали на радиоспектрометрах РЭ-1301 и ЭПР-3.

В настоящей работе приводятся уточненные параметры спектров ЭПР по сравнению с результатами, полученными нами ранее [1, 2].

Спектры ЭПР свободных радикалов в виде первых производных в γ -облученных фторводородсодержащих полимерах плохо разрешены, и их идентификация крайне затруднена. В связи с этим в работе регистрировали вторые производные линий поглощения ЭПР.

На рис. 1 приведены спектры ЭПР сополимеров СФ-1, γ -облученных при 77° К дозой ≈ 15 Мрад, с различным соотношением фторэтиленовых и этиленовых звеньев. Видно, что спектры ЭПР практически одинаковы. Общая протяженность спектров составляет ≈ 340 э. Однако с увеличением числа этиленовых звеньев интенсивность центральных компонент растет по отношению к крайним линиям спектра $\Delta H = 340$ и 250 э, отмеченным на рис. 1 стрелками, и постепенно исчезают дополнительные линии, отмеченные на этом же рисунке крестами.

После нагревания образцов до 300° К значительно (в 4–5 раз) уменьшается концентрация свободных радикалов. При этом существенно изменяется вид спектров ЭПР — уменьшается интенсивность крайних линий, и в спектрах отчетливо видны шесть линий СТС (рис. 2, a). Протяженность секстета составляет ≈ 150 , а расщепления — ≈ 30 э. Следует отметить, что наблюдающиеся различия в спектрах в зависимости от состава сополимера сохраняются и после разогревания до 300° К, а именно, интенсивность крайних компонент спектра тем меньше, чем больше в сополи-

мере этиленовых звеньев. Характерной является также температурная зависимость спектра ЭПР: расщепление между компонентами секстета не зависит от температуры, а расстояние между крайними компонентами спектра уменьшается от ≈ 340 э при 77° К до ≈ 240 э при 300° К (рис. 2, б). На основании полученных данных можно сделать вывод, что в сополимере СФ-1 образуется, по крайней мере, два типа радикалов. Секстет принадлежит радикалу $\sim\text{CH}_2-\dot{\text{C}}\text{H}-\text{CH}_2\sim$. На это указывают величина

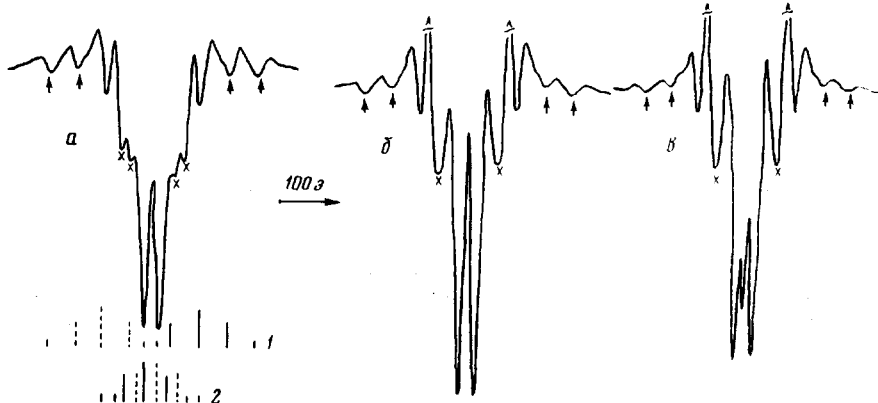


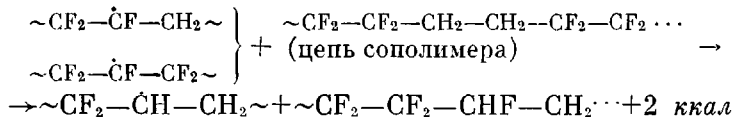
Рис. 1. Спектры ЭПР γ -облученных образцов сополимеров СФ-1 при соотношении мономерных звеньев 1:1 (а), 1:1,5 (б) и 1:2 (в); доза 15 Мрад, под спектром на рис. 1, а нанесены линии фторалкильного (1) и алкильного (2) радикалов

расщепления ~ 30 э и отсутствие заметной температурной зависимости спектра ЭПР, которое наблюдается для радикалов, содержащих атомы фтора в α - и β -положениях. Известно, что анизотропное сверхтонкое взаимодействие (СТВ) с α - и β -фторами велико, и усреднение этого взаимодействия при размораживании молекулярной подвижности приводит к изменению формы спектра ЭПР.

Относительно природы второго радикала можно сделать следующие предположения. Сильная температурная зависимость формы и большая протяженность спектра ЭПР позволяют отнести его к срединному фторалкильному радикалу с константами изотропного СТВ: $a_\alpha^F=120$, $a_\beta^F=30$ э при 300° К.

Спектр ЭПР срединного фторалкильного радикала в ПТФЭ характеризуется следующими константами: $a_\alpha=90$, $a_\beta=32$ э при 300° К [3], $a_\alpha=200$, $a_\beta=61$ э при 77° К [4, 5]. Полученные нами константы для СФ-1 отличаются от констант для ПТФЭ, что позволяет предположить существование радикала $\sim\text{CH}_2-\dot{\text{C}}\text{F}-\text{CF}_2\sim$.

Представляется интересным, что такие стабильные фторалкильные радикалы гибнут быстрее, чем алкильные. Это может быть связано с протеканием реакции замещения



Энергия активации прямой реакции на 2 ккал меньше, чем обратной реакции. Таким образом, в γ -облученном СФ-1 образуются фторалкильные $\sim\text{CH}_2-\dot{\text{C}}\text{F}-\text{CF}_2\sim$ и алкильные радикалы, причем с увеличением содержания этиленовых звеньев в СФ-1 возрастает концентрация алкильных радикалов.

На рис. 3 приведены спектры ЭПР ПВФ, γ -облученного при 77° К. Общая ширина спектра, зарегистрированного при 77° К, составляет ≈ 225 э (рис. 3, а). Линии СТС разрешены плохо. После разогрева образцов ПВФ

до 300° К концентрация ПМЦ падает в ~8 раз. Ширина спектра при 77° К после разогревания не изменяется, линии СТС становятся более разрешенными (рис. 3, б). Спектр состоит из пяти линий СТС с расстояниями между ними ≈ 55 э. На 2-й и 4-й линиях наблюдаются подрасщепления ≈ 16 э. При комнатной температуре спектр становится несколько уже ($\Delta H \approx 215$ э), хотя видны те же самые линии и подрасщепления. Поскольку вид и ширина спектра почти не изменяются с температурой, можно предположить, что в γ -облученном ПВФ стабилизируется только один тип

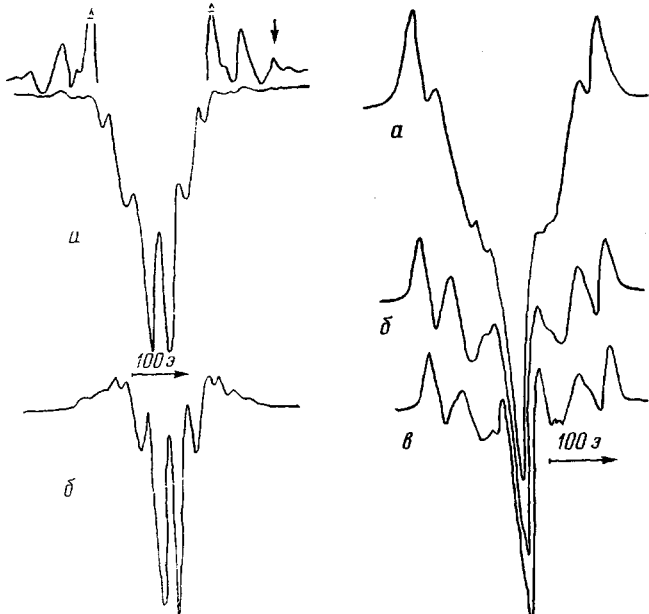


Рис. 2

Рис. 2. Спектры ЭПР γ -облученного сополимера СФ-1, доза 15 Мрад:
а — регистрация спектров при 77° К после разогревания от 77 до 300° К (выдержка 15 мин.); б — регистрация спектра при 300° К после γ -облучения при 77° К; стрелка — усилено в 10 раз

Рис. 3

Рис. 3. Спектры ЭПР γ -облученного ПВФ дозой 15 Мрад:
а — облучение и регистрация при 77° К; б — облучение при 77° К. Запись при 77° К после разогревания до 300° К (выдержка 15 мин.); в — регистрация при 300° К

радикалов. Слабая зависимость спектра от температуры свидетельствует о том, что в радикале нет фтора в α -положении. Рассмотрим вероятные структуры радикалов с водородом в α -положении: $\sim \text{CF}_2 - \dot{\text{C}}\text{H}_2 \sim$ (1); $\sim \text{CHF} - \dot{\text{C}}\text{H} - \text{CF}_2 \sim$ (2); $\sim \text{CF}_2 - \dot{\text{C}}\text{H} - \text{CF}_2 \sim$ (3) и $\sim \text{CF}_2 - \dot{\text{C}}\text{H} - \text{CH}_2 \sim$ (4).

На основании литературных данных [6, 8] для радикала 1 расщепление $\alpha_{\text{H}}^{\text{H}} = 20$ э. Однако в наблюдаемом спектре ПВФ расстояния между линиями ≈ 55 э. Следовательно, радикал 1 в ПВФ не образуется. К аналогичному выводу можно прийти при рассмотрении структур 2 и 4 из-за малых (20 э) констант расщепления на α -водороде. Остается структура 3. Согласно [6, 7], на β -фторе константы могут изменяться от 18 до 62 э.

Спектры сополимера СФ-2 трех исследованных составов, γ -облученных и зарегистрированных при 77° К, по внешнему виду одинаковы. Линии СТС спектров разрешены плохо. Спектр сополимера состава 1:1 при 77° К приведен в работе [1]. После разогревания образцов до комнатной температуры концентрация ПМЦ уменьшилась в ~4–6 раз, разрешение линий улучшилось (рис. 4, а, в, д). Общая ширина спектров для всех составов составляет ≈ 375 э. Расстояние между линиями СТС, отмеченное

звездочками, в сополимере состава 1:1 составляет ≈ 225 э и совпадает с шириной спектра ПВФ. Расстояние между этими же линиями в сополимерах состава 1:2 и 1:4 несколько больше — 230 и 235 э соответственно. Наблюдающееся смещение линий может быть кажущимся и связанным с наложением линий различных ПМЦ. Ширина спектров сополимеров составов 1:1, 1:2 и 1:4, зарегистрированных при комнатной температуре, составляет ~ 200 , ~ 210 и ~ 220 э соответственно (рис. 4, б, г, е). Эти значения также близки значению ширине спектра ПВФ при 300° К.

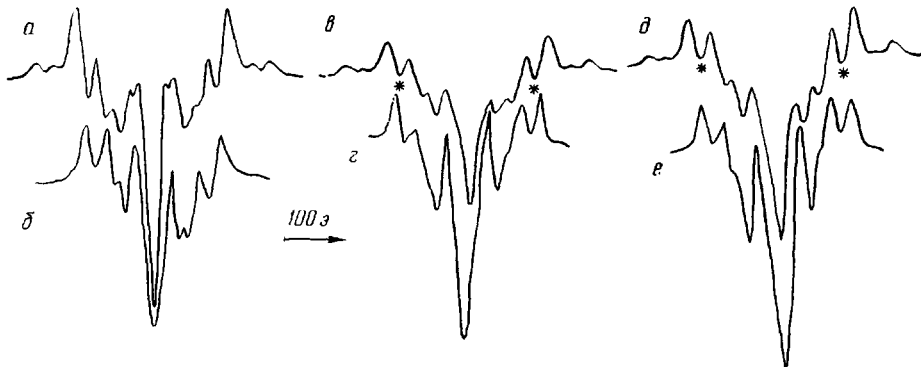


Рис. 4. Спектры ЭПР γ -облученных при 77° К образцов СФ-2 при соотношении звеньев 1:1 (а, б), 1:2 (в, г) и 1:4 (д, е), регистрация при 77 (а, в, д) и 300° К (б, г, е); доза облучения 15 Мрад

Часть спектра между линиями, отмеченными звездочками, сополимеров всех трех составов (рис. 4, а, в, д) по ширине, числу линий, слабой температурной зависимости имеет такой же вид, как спектр ПВФ. Поэтому можно предположить, что в γ -облученном сополимере СФ-2, как и в ПВФ, стабилизируются в основном алкильные радикалы $\sim \text{CF}_2 - \dot{\text{C}}\text{H} - \text{CF}_2 \sim$. Кроме того, в СФ-2 регистрируются и другие ПМЦ. Крайние линии с расщеплением $\Delta H \approx 375$ и 320 э, исчезающие при 300° К, можно отнести к радикалам с двумя и одним атомами фтора в α -положении.

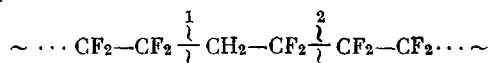
Характеристики спектров ЭПР радикалов, образующихся при радиолизе фторводородсодержащих полимеров

Полимер	Радикалы	Протяженность, э	Параметры спектров	T, °К
ПВФ	Заряженные частицы $\sim \text{CF}_2 - \dot{\text{C}}\text{H} - \text{CF}_2 \sim$	15	—	77
		220	$a_{\alpha}^H = 16$, $a_{\beta}^F = 50$ э	300
СФ-1	$\sim \text{CF}_2 - \dot{\text{C}}\text{F} - \text{CH}_2 \sim$	340	—	77
		240	$a_{\alpha}^F = 120$, $a_{\beta}^{F,H} = 30$ э	300
	$\sim \text{CH}_2 - \dot{\text{C}}\text{H} - \text{CH}_2 \sim$	150	$a_{\alpha}^H = 22$, $a_{\beta}^{F,H} = 32$ э	77
	$\sim \text{CH}_2 - \text{CH} \cdots \text{CH} \cdots \text{CH} - \text{CH}_2 \sim [2]$	125	9 линий, расстояния между линиями 14 э	500
СФ-2	Заряженные частицы сополимера состава 1:1	15 *	—	77
	$\sim \text{CF}_2 - \dot{\text{C}}\text{H} - \text{CF}_2 \sim$	220	$a_{\alpha}^H = 16$, $a_{\beta}^F = 50$ э	300
	$\sim \text{CF}_2 - \dot{\text{C}}\text{F}_2$, $\sim \text{CH}_2 - \dot{\text{C}}\text{F}_2$	375	—	77
	$\sim \text{CF}_2 - \dot{\text{C}}\text{F} - \text{CF}_2 \sim$	320	—	77
	$\sim \text{CH}_2 - \dot{\text{C}}\text{H} - \text{CF}_2 \sim$			

* Ширина линии.

Как показано нами, изменение состава сополимера слабо влияет на форму спектров. Поскольку состав должен влиять на концентрацию радикалов с одним и двумя фторами в α -положении, то, следовательно, вклад этих радикалов в общую концентрацию незначителен.

Образование концевых радикалов может происходить путем разрыва основной полимерной цепи



либо на первом участке с образованием радикалов $-\dot{\text{C}}\text{F}_2$ и $-\dot{\text{C}}\text{H}_2$, либо на втором с образованием радикала $-\dot{\text{C}}\text{F}_2$. Спектр радикала $-\dot{\text{C}}\text{H}_2$ известен [8]. Отсутствие спектра, характерного для такого радикала, дает основание предположить, что разрыв цепи происходит на втором участке.

В таблице приведены радикалы, образующиеся при γ -облучении, в изученных нами фторводородсодержащих полимерах и параметры их спектров. Анализ таблицы показывает, что в изученных фторводородсодержащих полимерах стабилизируются радикалы с водородом в α -положении. Образование фторалкильных радикалов наблюдается только в полимерах, у которых рядом находятся, по крайней мере, две фторметиленовых группы. Вклад этих радикалов уменьшается с увеличением метиленовых групп в полимерной цепи. Концевые фторалкильные радикалы образуются только в СФ-2, где имеются блоки из фторметиленовых групп.

Следует отметить, что на всех спектрах после разогревания до комнатной температуры появляется одиночная линия шириной 25–30 э, которая, по-видимому, принадлежит полиеновым радикалам.

Филиал Научно-исследовательского
физико-химического института
им. Л. Я. Карпова

Поступила в редакцию
26 II 1973

ЛИТЕРАТУРА

1. А. В. Бобылева, С. М. Берлянт, Э. Р. Клиншпонт, Высокомолек. соед., **B15**, 527, 1973.
2. А. В. Бобылева, С. М. Берлянт, В. К. Милинчук, В. Л. Карпов, Высокомолек. соед., **B13**, 185, 1971.
3. Ю. Л. Цветков, И. Н. Бубнов, М. А. Макульский, Ю. С. Лазуркин, В. В. Воеводский, Докл. АН СССР, **122**, 1053, 1958.
4. N. Tamura, J. Chem. Phys., **37**, 479, 1962.
5. В. И. Муромцев, Р. А. Асатуров, М. А. Брук, А. Д. Абкин, И. Г. Ахвledиани, Химия высоких энергий, **3**, 256, 1969.
6. A. J. Bowles, A. Hudson, P. A. Jackson, Chem. Phys. Letters, **5**, 552, 1970.
7. В. И. Муромцев, М. А. Брук, И. Г. Ахвledиани, Р. А. Асатуров, Г. М. Жидомиров, А. Д. Абкин, Ж. теорет. и эксперим. химии, **2**, 679, 1966.
8. П. Ю. Бутягин, А. М. Дубинская, В. А. Радциг, Успехи химии, **38**, 593, 1969.